

神戸大学工学部 正 谷本喜一
 神戸大学工学部 正 野田利
 神戸大学大学院 学 ○ 中道佳照

1. まえがき

ある材料が応力とうけて変形するとき、エネルギーの放出の結果生じる特徴的な微震音と Acoustic Emission (AE) という。材料物質の非破壊検査や破壊予知の手段として AEE を用いることが考えられ、その実用化のための研究が各方面で活発に進められていく。著者らは AE の測定方法を土に応用し、土の変形・破壊特性と調べる一連の研究を行なってい。今回の報告はヒズミ制御方式の三軸せん断中に測定された AE の特性について以前の報告^{1), 2)}に新しく追加実験の結果を併せて、比較検討しながら考察を行なつたものである。

2. 実験方法

実験装置は、三軸圧縮試験装置、AE 測定装置および AE 解析装置によつて構成されており、載荷方法は荷重制御、ヒズミ制御の両用になつてゐる。AE の検出は供試体底部に埋めこんだ圧電型トランジスター (DC ~ 40 kHz) を用ひて行なつて。

試料としては愛媛産マサ土 ($G_s = 2.73$, $D_{max} = 4.76 \text{ mm}$, $D_{lo} = 0.105 \text{ mm}$, $U_c = 16.8$) と豊浦標準砂 ($G_s = 2.64$, $D_{max} = 0.37 \text{ mm}$, $D_{lo} = 0.128 \text{ mm}$, $U_c = 1.37$) の 2 種類を用いた。そして実験はヒズミ制御方式で、含水比・乾燥密度・側圧・ヒズミ速度と種々にかえて排水条件のもとを行なつて。なお標準砂は試料をかえることによつて、AE 発生状況と破壊時間の関係がどのように変化するかを調べるために用いたもので、この場合はヒズミ速度だけをかえて実験を行なつて。

3. 実験結果および考察

AE は種々の振幅をもつので、AE 発生数は読み取る振幅レベルの設定によつてかわるところ。本研究では AE の信号から雜音を除去するため測定する振幅レベルを 1.0 ベ (アリメイニアニアード増幅後の電圧) 以上として実験結果を整理した。

図-1, 2 は各々荷重制御、ヒズミ制御方式の代表的な実験結果と、主応力差・軸ヒズミ・単位時間(1 分)当たり AE 発生数の関係を示してある。これらからわかるように、図-1 の荷重制御方式の場合には、AE 発生数はあるヒズミ状態に達するまでの段階でゆっくりと増加するが、その後ヒズミをこえると急激に増加していく。しかし、図-2 のヒズミ制御方式の場合には、AE 発生数は実験開始から徐々に増加していくが、あるヒズミを境にしだて一定となる。この一定になつて過程では、定常の粒子間摩擦が起つていいものと推察される。このように両者の間にほのかなりの差異があるようくみえるが、図-1, 2 の屈折点 T における応力 σ_t 、軸ヒズミ ε_t 、破壊点 F における応力 σ_f 、軸ヒズミ ε_f とし σ_t/σ_f , $\varepsilon_t/\varepsilon_f$ を求めるとみると図-3 のようになり、載荷方法の違いにもかかわらず、両者がかなり接近して F 値に分ることで興味深いことである。

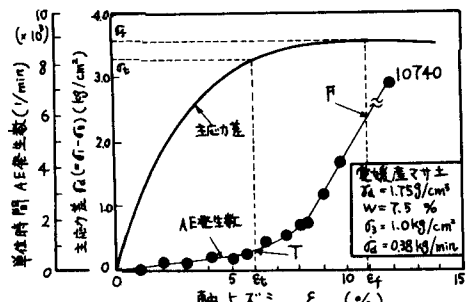


図-1 応力～ヒズミ、AE 発生数～ヒズミの関係(荷重制御)

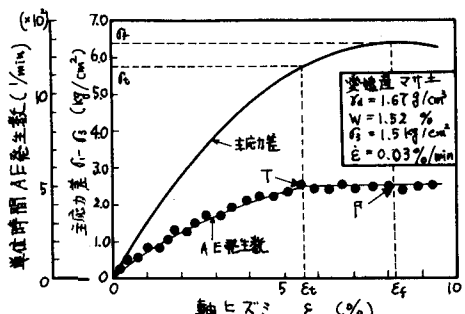


図-2 応力～ヒズミ、AE 発生数～ヒズミの関係(ヒズミ制御)

次に、以前に提案¹⁾したように、AE増加率（R）を図-4の中の説明図のように、Nと実験開始から屈折点までの間に発生しAEの個数、 ΔN と屈折点通過後、単位時間（0.5分）内に発生しAEの個数としたとよりの両者の比 $\Delta N/N$ と定義する。これは測定装置や設置場所の差異によって測定結果に違いができることを避けようとしているものである。荷重制御方式の実験結果を整理したもののが図-4である。この図には六甲山系マサ土につけた実験結果も併記しているが、試料の種類に關係なくAE増加率と破壊時間は対数纸上で直線関係にあることがわかる。この両者の関係を式で表わすと次のようになる。

$$\log_{10} t_f = -0.88 \log_{10} R + 2.30 \quad (1)$$

ここに、 t_f ：破壊時間（分）、R：AE増加率（%）である。図-5はヒズミ制御方式の実験結果を示したものである。この場合のNと ΔN は図中の説明に示したものと用いて。図より明らかのように、ヒズミ制御方式を得らるるAE増加率と破壊時間との間にても対数纸上で直線関係にあることがわかる。これで式を表わすと次のようになる。

$$\log_{10} t_f = -0.98 \log_{10} R + 2.36 \quad (2)$$

このことから荷重制御方式の場合と同様に、ヒズミ制御方式の場合でも、AE増加率は含水比や拘束圧などの実験条件に左右されずに破壊時間と一義的な関係にあることがわかる。すなはち図-5には試料と標準砂にかけた場合の実験結果もプロットしてある。この図から標準砂の場合でもAE増加率と破壊時間の関係は、ほぼ(2)式で表わされるのが認められる。すなはち(1)式と(2)式はかなりよく一致しており、ヒズミ制御と荷重制御の両方式においてAE増加率と破壊時間の関係は類似しているといえる。そこで(1)(2)式を平均化すると次のようになる。

$$\log_{10} t_f = -0.95 \log_{10} R + 2.35 \quad (3)$$

以上のことからAE増加率と破壊時間の関係は、ヒズミ制御、荷重制御の相違、測定装置・設置場所および試料・地盤の違いにかかわらず、(3)式で表わすことができる。

4.まとめ

AEの発生状況は荷重制御、ヒズミ制御方式と異なつて、屈折点が応力-ヒズミ曲線上で占める割合はほぼ等しい。すなはちAE増加率と破壊時間の間に、荷重制御、ヒズミ制御方式の相違、測定装置・設置場所および試料の相違に關係なく(3)式が成立する。このことは、AEの測定が土の変形や破壊特性の研究とともに、斜面崩壊の予知などにも応用できる可能性を示しているものと思われる。

参考文献 1) 畠本野田：AE測定における砂質土の力学的特性について、第3回日本学会年次学術講演会論文集 III, pp 28-29, 1976.

2) Tanimoto & Noda: A Study of AE from Sandy Soils, 9th, ICSMFE, Vol 1, pp 315-318, 1977.

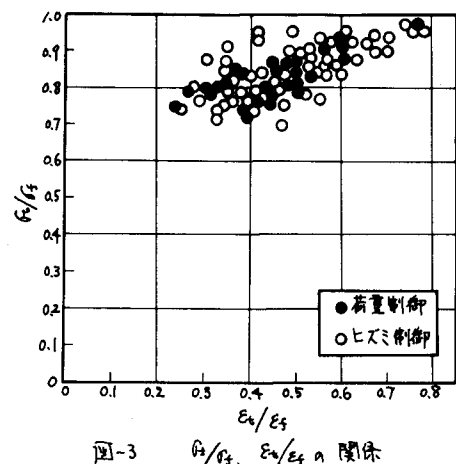


図-3 E_s/E_f , t_f/t_f の関係

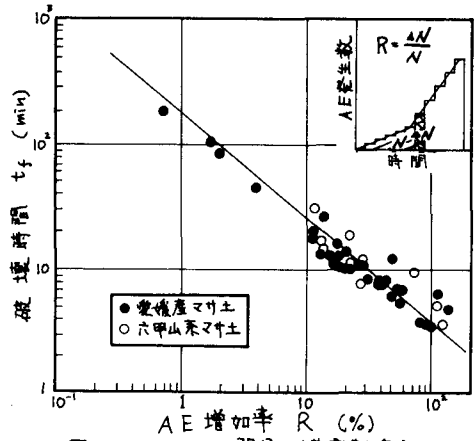


図-4 R と t_f の関係 (荷重制御)

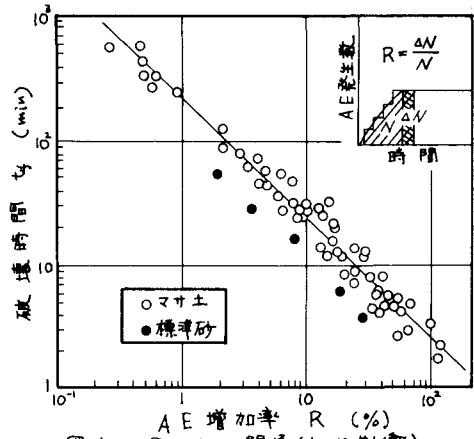


図-5 R と t_f の関係 (ヒズミ制御)